

# مطالعه آزمایشگاهی نقش شرایط عمل آوری بر مقاومت فشاری بتن ژئوپلیمری بر پایه خاکستر بادی

امیر بهادر مرادی خو<sup>۱</sup>، علیرضا اسپرهم<sup>۲</sup>

- ۱- کارشناس ارشد مهندسی سازه، دانشگاه آزاد اسلامی، واحد علوم تحقیقات، باشگاه پژوهشگران جوان و نخبگان، تهران، ایران.  
۲- کارشناس ارشد مهندسی زلزله، دانشگاه آزاد اسلامی، واحد علوم تحقیقات، باشگاه پژوهشگران جوان و نخبگان، تهران، ایران.

آدرس پست الکترونیکی نویسنده رابط : amirbahador.mk@gmail.com

## چکیده

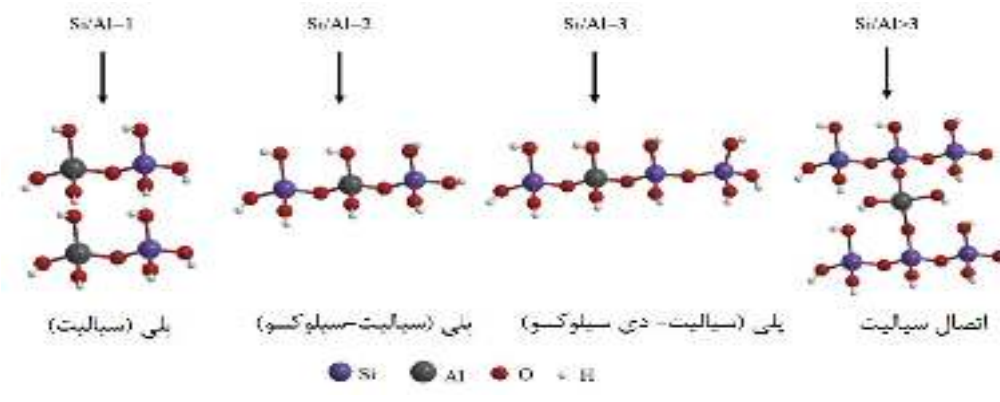
در سال‌های اخیر ژئوپلیمر به عنوان جایگزینی سبز و مناسب برای سیمان پرتلند مطرح شده است. پارامترهای متعددی بر مقاومت فشاری بتن‌های ژئوپلیمری تاثیرگذارند. یکی از این پارامترها شرایط عمل آوری عمل آوری شامل: دما و عمل آوری مدت عمل آوری، است. در این مقاله به بررسی نقش شرایط عمل آوری بر مقاومت فشاری بتن ژئوپلیمری بر پایه خاکستر بادی، پرداخته شد. به همین منظور نمونه‌های بتن ژئوپلیمری در شرایط مختلف دمایی (۶۰، ۴۰، ۹۰، ۸۰، ۷۰، ۴ و ۱۰۰ درجه سانتی‌گراد) و در مدت (۲، ۴، ۸، ۱۲، ۱۶، ۲۴ و ۳۶ ساعت) عمل آوری شدند و از نمونه‌ها آزمون مقاومت فشاری گرفته شد تا تاثیر شرایط عمل آوری بر مقاومت فشاری بررسی شود. نتایج نشان داد افزایش زمان و دمای عمل آوری سبب افزایش مقاومت فشاری می‌شود.

کلمات کلیدی: بتن ژئوپلیمری، خاکستر بادی، دمای عمل آوری، زمان عمل آوری، مقاومت فشاری.

## ۱. مقدمه

تغییرات اقلیمی ناشی از پدیده گرمایش جهانی به یکی از جدی‌ترین نگرانی‌های محیط زیستی در سراسر جهان تبدیل شده است. علت اصلی پدیده گرمایش جهانی انتشار گازهای گلخانه‌ای است و در میان گازهای گلخانه‌ای دی اکسید کربن<sup>۱</sup> با میزان انتشار ۶۵ درصد، بیشترین نقش را در پدیده گرمایش جهانی دارد [۱ و ۲]. فرایند تولید سیمان پرتلند معمولی به عنوان یکی از منابع انتشار گاز دی اکسید کربن و گرمایش جهانی شناخته می‌شود [۳ و ۴] زیرا برای تولید ۱ تن سیمان پرتلند تقریباً ۱ تن دی اکسید کربن تولید می‌شود [۵ و ۶]. همچنین تولید سیمان پرتلند عامل انتشار ۷ تا ۱۰ درصد از انتشار جهانی گاز

دی اکسید کربن است [۳ و ۷ و ۸]. از این رو نیاز به استفاده از جایگزین برای سیمان پرتلند ضروری به نظر می‌رسد. در سال‌های اخیر ژئوپلیمر به عنوان یک عامل سیمانی جدید و دوستدار محیط زیست، به عنوان جایگزینی برای سیمان پرتلند مطرح شده است که می‌تواند منجر به کاهش مشکلات زیست محیطی ناشی از تولید سیمان پرتلند شود [۹]. ژئوپلیمر برای اولین بار در سال ۱۹۷۸ میلادی توسط داویدوویتس<sup>۴</sup> شیمیدان برجسته فرانسوی، به عنوان چسبانده‌های جدیدی از خانواده پلیمرهای معدنی معرفی شد [۱۰]. وی همچنین استفاده از نام پلی سیالیت<sup>۵</sup> را برای شناسایی شیمیابی ژئوپلیمرها پیشنهاد کرد که عبارت "پیشوند پلیمری و "نیز مخفف زنجیره silicon-oxo-aluminate است [۱۱-۱۴]. در شکل ۱ انواع مختلف poly" داده شده است.



شکل ۱- ساختار شیمیابی poly ها [۱۳]

ژئوپلیمرها مواد آلومیناسیلیکاتی غیرآلی هستند که از ترکیب منبع اولیه ژئوپلیمریزاسیون<sup>۶</sup> (منبع آلومیناسیلیکاتی) غنی از سیلیکا (SiO<sub>4</sub>) و آلومینا (Al<sub>2</sub>O<sub>3</sub>) با یک محلول قلیایی فعال کننده حاصل می‌شوند [۱۵]. ژئوپلیمریزاسیون واکنش سریع شیمیایی در شرایط قلیایی بین میترال‌های Si و Al است که باعث تشکیل زنجیره‌های سه بعدی پلیمری Si-O-Al-O می‌شود [۱۶]. از نقطه نظر خواص مهندسی مورد نیاز در مهندسی عمران، بتن‌های ژئوپلیمری خصوصیات مکانیکی و شیمیایی بهتری نسبت به بتن‌های معمولی دارند که از جمله آنها می‌توان مقاومت فشاری، خمی و کششی بالا [۱۹-۱۷]، مقاومت در آتش سوزی و حرارت بالا [۲۰-۲۳]، نفوذپذیری کم و مقاومت در برابر حمله نمک‌ها و اسیدها [۱۷ و ۲۴] و خرز پایین [۲۵] اشاره کرد. البته در مقابل، جمع شدگی بیشتری نسبت به بتن معمولی دارند. منبع آلومیناسیلیکاتی بسته به خواص مورد نیاز، هزینه و در دسترس بودن می‌تواند طبیعی مانند زئولیت، صنعتی مانند متاکائلن و یا ضایعاتی مانند خاکستر باشد. یکی از انواع منابع آلومینا سیلیکاتی خاکستر باشی است. خاکستر باشی محصول جانبی نیروگاه ذغالسنگ سوز است که به دلیل ماهیت ساختاری آمورف می‌تواند یکی از بهترین منابع اولیه ژئوپلیمریزاسیون باشد. خاکستر باشی در دو کلاس C (دارای مقادیر زیاد اکسید کلسیم<sup>۷</sup> و F (حاوی مقادیر کم اکسید کلسیم) دسته‌بندی می‌شود. در این مقاله از خاکستر باشی کلاس F به عنوان منبع آلومیناسیلیکاتی، برای ساخت بتن ژئوپلیمری استفاده شد.

محلول فعال کننده قلیایی به عنوان یکی از دو بخش اصلی ژئوپلیمرها نقش مهمی را در تجزیه و تشکیل ساختار کریستالی Si و Al ایفا می‌کند و معمولاً بر مبنای سدیم یا پتاسیم که از فلزات قلیایی حلal هستند، انتخاب می‌شود. رایج‌ترین محلول قلیایی مورد استفاده در ژئوپلیمریزاسیون، ترکیبی از محلول

Davidovits<sup>۸</sup>

poly(sialate)<sup>۹</sup>

Raw material<sup>۱۰</sup>

CaO<sup>۱۱</sup>

هیدروکسید سدیم<sup>۷</sup> یا پتاسیم<sup>۸</sup> با محلول سیلیکات سدیم یا پتاسیم است [۱۷]. در این مقاله از محلول هیدروکسید سدیم و سیلیکات سدیم به عنوان محلول فعال کننده قلیایی استفاده شد.

پژوهشگران پارامترهای مختلفی را به عنوان پارامترهای تاثیرگذار بر مقاومت فشاری بتن ژئوپلیمری مورد مطالعه قرار داده‌اند که از جمله آنها می‌توان به نوع محلول فعال کننده قلیایی، غلظت محلول قلیایی، غلظت محلول هیدروکسید سدیم یا پتاسیم، عمل آوری، نوع منبع آلومیناسیلیکاتی، محتوای اکسیدهای منبع آلومیناسیلیکاتی، میزان آب موجود در طرح اختلاط بتن، اندازه ذرات وغیره را نام برد [۱۴ و ۲۱-۲۶].

یکی از پارامترهای تاثیرگذار بر مقاومت فشاری بتن‌های ژئوپلیمری که در این پژوهش مورد مطالعه قرار گرفت، عمل آوری است که خود شامل دو فاکتور دما و مدت عمل آوری است. در این زمینه پژوهش‌هایی توسط محققان انجام شده است که در ادامه به اختصار به آنها پرداخته می‌شود. پالومو<sup>۹</sup> و همکاران [۲۴] در پژوهش در مورد نقش عمل آوری بر مقاومت فشاری بتن ژئوپلیمری بر پایه خاکستر بادی نتیجه گیری کردن که افزایش دمای عمل آوری روند ژئوپلیمریزاسیون را سرعت می‌بخشد و به همراه فاکتور زمان عمل آوری نقش مستقیم بر مقاومت‌های مکانیکی بتن دارد. این پژوهشگران عنوان کردند که دما و زمان بیشتر عمل آوری سبب دستیابی به مقاومت فشاری بیشتر بتن می‌شود. ون جارسولد<sup>۱۰</sup> و همکاران [۱۴] نیز در پژوهشی در این رابطه نتیجه گیری کردند که عمل آوری از پارامترهای تاثیرگذار بر مقاومت فشاری ژئوپلیمرها است. این پژوهشگران از دمای‌های خیلی بالا نیز برای عمل آوری نمونه‌های بتن ژئوپلیمری استفاده کردند و دریافتند این شرایط عمل آوری به دلیل ایجاد ترک نتیجه گیری کردند که افزایش دمای بتن دارد و در پایان دمای‌های میانه را برای عمل آوری بتن ژئوپلیمری پیشنهاد کردند. هاردیجیتو<sup>۱۱</sup> و همکاران [۱۷] نیز در پژوهش خود این نقش این پارامتر را بر مقاومت فشاری بتن ژئوپلیمری بر پایه خاکستر بادی مورد بررسی قرار داده و علاوه بر تاثیرگذار بودن این پارامتر نتیجه گیری کردند که افزایش دمای مقاومت فشاری بتن می‌شود اما در دمای‌های بالاتر از ۶۰ درجه سانتی گراد هیچ تغییر قابل ملاحظه‌ای در مقاومت فشاری بتن دیده نمی‌شود در حالی که ساپوت منش<sup>۱۲</sup> و همکاران [۲۹] نتیجه گیری کردند که در دمای بالاتر از ۱۲۰ درجه سانتی گراد، مقاومت فشاری بتن افزایش قابل ملاحظه‌ای پیدا نمی‌کند. در رابطه با زمان عمل آوری پالومو و همکاران [۲۴] نتیجه گیری کردند که با افزایش زمان عمل آوری مقاومت فشاری بتن ژئوپلیمری افزایش می‌یابد. هاردیجیتو و همکاران [۱۷] نیز در پژوهش خود نتیجه گیری کردند با زمان عمل آوری تا ۲۴ ساعت مقاومت فشاری بتن ژئوپلیمری افزایش می‌یابد اما در مدت‌های بیشتر از ۲۴ ساعت تغییر قابل ملاحظه‌ای در مقاومت فشاری اتفاق نمی‌افتد در حالی که احمد و همکاران [۳۰] نتیجه گیری در زمان‌های بیشتر ۴۸ ساعت تغییر محسوسی در مقاومت فشاری دیده نمی‌شود.

در این پژوهش آزمایشگاهی سعی شد که در حد توان نقش شرایط عمل آوری بر مقاومت فشاری بتن ژئوپلیمری بر پایه خاکستر بادی کلاس F، مورد مطالعه قرار گیرد. در همین راستا دو فاکتور دما و زمان عمل آوری مورد بررسی قرار گرفت. نمونه‌های بتن ژئوپلیمری در شرایط مختلف دمایی و زمانی عمل آوری قرار گرفتند و از نمونه‌ها آزمون مقاومت فشاری بر اساس استاندارد Part ۱۱۶ BS ۱۸۸۱: ۱۱۶ گرفته شد. در پایان نتایج بدست آمده گردآوری و تجزیه و تحلیل شدند.

## ۲. مصالح مصرفی

منبع اصلی ژئوپلیمریزاسیون در این مقاله خاکستر بادی بود که آنالیز XRF آن در جدول ۱ و تصویر آن در شکل ۲ ارائه شده است. هیدروکسید سدیم (NaOH) با خلوص ۹۸ درصد از شرکت قطران شیمی خریداری شد. محلول سیلیکات سدیم مایع با نسبت SiO<sub>2</sub> برابر با ۲، از شرکت بتن

NaOH<sup>۹</sup>

KOH<sup>۱۰</sup>

Palomo<sup>۱۱</sup>

van Jaarsveld<sup>۱۲</sup>

Hardjito<sup>۱۳</sup>

Satpute Manesh<sup>۱۴</sup>

زیست فناور خریداری شد. آنالیز شیمیایی این ۲ ماده در جدول ۲ ارائه شده است. شن و ماسه مصرفی از معادن اطراف شهریار تهیه شد. شن مصرفی از نوع شن شکسته بود که پس از تهیه، توسط الک استاندارد ASTM C136 [۳۱] دانه‌بندی شد. در این پژوهش، از شن در ۲ اندازه ۱۰ و ۷ میلی‌متری استفاده شد. آزمایش وزن مخصوص و جذب آب مطابق با استاندارد ASTM C127 [۳۲] از شن مصرفی، گرفته شد. این آزمایش از ماسه نیز مطابق با استاندارد ASTM C128 [۳۳]، به عمل آمد که نتایج آن در جدول ۳ ارائه شده است. همچنین ضریب نرمی ماسه، میزان رد شده از الک شماره ۰/۷۲، ۲۰۰ درصد اندازه گیری شد. آب مصرفی نیز آب لوله کشی شهر تهران بود. روان‌کننده مورد استفاده نیز از نوع پلی کربوکسیلاتی با وزن مخصوص ۱/۱ گرم بر سانتی متر مکعب، بود که از کلینیک تخصصی بتن خریداری شده بود.

جدول ۱- آنالیز XRF خاکستر بادی کلاس

| P <sub>2</sub> O <sub>5</sub> | MnO  | Na <sub>2</sub> O | TiO <sub>2</sub> | K <sub>2</sub> O | MgO  | Fe <sub>2</sub> O <sub>3</sub> | CaO  | Al <sub>2</sub> O <sub>3</sub> | SiO <sub>2</sub> |
|-------------------------------|------|-------------------|------------------|------------------|------|--------------------------------|------|--------------------------------|------------------|
| ۰/۰۵                          | ۰/۰۵ | ۰/۲۶              | ۰/۹۲             | ۱/۰۹             | ۰/۷۷ | ۳/۹                            | ۱/۱۳ | ۲۱/۱                           | ۷۰/۷             |



شکل ۲- تصویر خاکستر بادی

جدول ۲- آنالیز شیمیایی محلول‌های هیدروکسید سدیم و سیلیکات سدیم

| سیلیکات سدیم مایع |       |                   | هیدروکسید سدیم |       |                                 | ترکیب شیمیایی |
|-------------------|-------|-------------------|----------------|-------|---------------------------------|---------------|
| واحد              | نتیجه | ترکیب شیمیایی     | واحد           | نتیجه | ترکیب شیمیایی                   |               |
| %                 | ۳۰    | SiO <sub>2</sub>  | %              | ۹۸    | NaOH                            |               |
| %                 | ۱۴/۵  | Na <sub>2</sub> O | %              | ۱     | Na <sub>2</sub> CO <sub>3</sub> |               |
| %                 | ۵۵/۵  | آب                | ppm            | ۲۰۰   | NaCl                            |               |
| -                 | ۲/۰۷  | ریشوی مدل         | ppm            | ۶     | Fe                              |               |
|                   |       |                   | ppm            | ۱۵/۷  | SiO <sub>2</sub>                |               |

جدول ۳- جذب آب و وزن مخصوص سنجدانه‌ها

| جذب آب (%) | وزن مخصوص اشباع با سطح خشک (گرم بر سانتی متر مکعب) | ماده |
|------------|----------------------------------------------------|------|
| ۱/۳        | ۲/۶۲                                               | شن   |
| ۲/۲        | ۲/۵۹                                               | ماسه |

۳. روش آزمایشگاهی

پس از انجام آزمایش‌های اولیه و استفاده از نتایج تحقیقات قلی طرح اختلاط بین ژئوبلمری انتخاب شد. این طرح در جدول ۴ ارائه شده است.

#### جدول ۴ - طرح‌های اختلاط بتن زئوپلیمیری

| مقیاس             | آب اضافه | روان کننده | ماسه | شن  | سیلیکات سدیم | هیدروکسید سدیم | خاکستر بادی |
|-------------------|----------|------------|------|-----|--------------|----------------|-------------|
| Kg/m <sup>3</sup> | ۱۰       | ۸          | ۸۴۰  | ۸۴۰ | ۱۲۰          | ۸۰             | ۴۰۰         |

## در این طرح اختلاط:

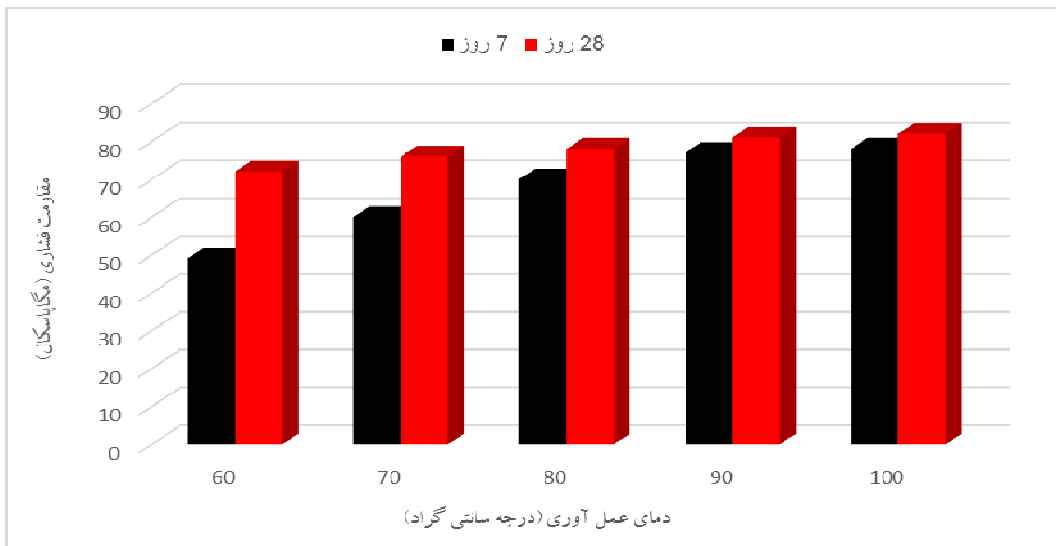
- نسبت وزنی محلول سیلیکات سدیم به هیدروکسید سدیم برابر با  $1/5$  است.
  - میزان روان کننده  $2$  درصد وزنی خاکستر بادی است.
  - نسبت وزنی شن به ماسه برابر  $1$  است.
  - نسبت وزنی شن  $7$  به  $10$  میلی متری برابر  $1$  است.
  - نسبت وزنی یایندر به سنگدانه  $23$  درصد است.
  - نسبت وزنی سنگدانه به وزن کل یعنی  $80$  درصد است.

ابتدا محلول هیدروکسید سدیم با غلظت ۱۴ مولار آماده شد. برای تهیه هر لیتر محلول هیدروکسید سدیم ۱۴ مولار با توجه به وزن مولی هیدروکسید سدیم که ۴۰ گرم بر مول است، (۵۴۰×۱۴) گرم هیدروکسید سدیم خشک در بشر مدرج ریخته شد سپس به آرامی آب به بشرط اضافه شد تا حجم محلول به ۱ لیتر برسد. محلول هیدروکسید سدیم به مدت ۲ ساعت توسط هم زن مغناطیسی، هم زده شد تا کاملا حل و شفاف شود. پس از آماده شدن محلول هیدروکسید سدیم ۱۴ مولار، این محلول با محلول سیلیکات سدیم مایع، آب اضافه و روان کننده مطابق با طرح اختلاط بتن، ترکیب شد تا محلول فعال کننده قیلایی حاصل شود. به محلول فعال کننده قیلایی ۲۴ ساعت زمان داده شد تا سرد شود. در روز آزمایش ابتدا مواد خشک شامل خاکستر بادی (ماده چسبانده)، شن و ماسه از زیر به درشت در میکسر بتن ریخته و به مدت ۳ دقیقه به صورت خشک محلول شدند. سپس در ادامه محلول فعال کننده قیلایی به محلول بتن اضافه شد و به مدت ۳ دقیقه میکس شدند. پس از اتمام میکس، نمونه های فشاری با ابعاد  $10 \times 10 \times 10$  سانتی متر و از هر طرح به تعداد ۳ عدد، تهیه شدند. به منظور تراکم نمونه ها به مدت ۱۰ ثانیه روی میز ویبره، متراکم شدند. دمای های عمل آوری مورد پژوهش در این مقاله  $60^{\circ}\text{C}$ ،  $70^{\circ}\text{C}$ ،  $80^{\circ}\text{C}$  و  $90^{\circ}\text{C}$  و  $100^{\circ}\text{C}$  درجه سانتی گراد بود. به منظور بررسی این فاکتور، در بخش اول، آزمونه ها به مدت ۲۴ ساعت در این دمای عمل آوری شدند. پس از پایان عمل آوری آزمونه ها در دمای محیط آزمایشگاه قرار گرفتند. از نمونه ها آزمون مقاومت فشاری مطابق با استاندارد Part ۱۱۶ BS ۱۸۸۱ [۳۴] گرفته شد. پس از مشخص شدن نتایج این بخش در بخش بعدی به منظور بررسی فاکتور مدت عمل آوری، آزمونه ها در دمای  $90^{\circ}\text{C}$  درجه سانتی گراد و به مدت ۲، ۴، ۶، ۸، ۱۰، ۱۲، ۱۴ و  $36^{\circ}\text{C}$  ساعت عمل آوری شدند و آزمونه ها در پایان زمان عمل آوری از آون خارج و در دمای محیط آزمایشگاه قرار گرفتند. از نمونه ها آزمون مقاومت فشاری مطابق با استاندارد Part ۱۱۶ BS ۱۸۸۱ گرفته شد. نتایج آزمون مقاومت فشاری  $7^{\circ}\text{C}$  و  $28^{\circ}\text{C}$  روزه در بخش نتایج و بحث ارائه خواهد شد.

٤. نتایج و بحث

نتایج بخش اول مربوط به بررسی اثر دمای عمل آوری بر مقاومت فشاری ۷ و ۲۸ روزه بتن ژئوپلیمری بر پایه خاکستر بادی در شکل ۳ ارائه شده است. همان طور که نتایج شکل ۳ نشان می دهد با افزایش دمای عمل آوری از ۶۰ تا ۹۰ درجه سانتی گراد، مقاومت فشاری ۷ و ۲۸ روزه بتن ژئوپلیمری افزایش یافت. این افزایش مقاومت در مقاومت فشاری ۷ روزه سیار محسوس نیست. در ادامه با افزایش بیشتر دما از ۹۰ به ۱۰۰ درجه سانتی گراد تغییر محسوسی در

مقاومت فشاری ۷ و ۲۸ روزه بتن دیده نشد و فقط مقاومت‌ها اندکی افزایش یافت. افزایش دمای عمل‌آوری سبب افزایش نسبی میزان ژئوپلیمریزاسیون و افزایش قابل ملاحظه سرعت روند ژئوپلیمریزاسیون می‌شود [۱۷ و ۳۰ و ۳۵]. با افزایش سرعت روند ژئوپلیمریزاسیون، بتن ژئوپلیمری درصد بیشتری از مقاومت خود را در سنین پایین کسب می‌کند در نتیجه میزان مقاومت زودرس (Early strength) در بتن ژئوپلیمری بیشتر می‌شود. در واقع به همین دلیل است که افزایش مقاومت فشاری با افزایش دمای عمل‌آوری در مقاومت ۷ روزه نمونه‌ها محسوس‌تر و قابل ملاحظه‌تر است. اما علت محسوس نبودن تغییرات مقاومت فشاری ۲۸ روزه، می‌تواند به ماهیت واکنش ژئوپلیمریزاسیون مربوط باشد. برخلاف واکنش آبپوشی (هیدراتاسیون) که در بتن معمولی انجام می‌شود و تا ۱ ماه ادامه دارد و تا ۱ سال کامل می‌شود، ژئوپلیمریزاسیون یک واکنش سریع شیمیایی است که در شرایط شدید قلیابی بین عناصر معدنی Si و Al در یک مدت زمان بسیار کوتاه (نسبت به بتن معمولی) اتفاق می‌افتد. در نتیجه در صورت تامین مناسب انرژی فعالسازی، این نوع بتن بسته به نوع محلول فعال کننده قلیابی (سدیم یا پتاسیمی)، غلظت محلول فعال کننده قلیابی، شرایط عمل آوری وغیره، درصد زیادی از مقاومت نهایی خود را در چند ساعت اولیه به دست می‌آورد. در نتیجه در این بخش با توجه به زمان عمل آوری که ۲۴ ساعت بود (زمان مناسب برای تامین انرژی فعالسازی)، مقاومت فشاری ۲۸ روزه نمونه‌ها با افزایش دما تغییر محسوسی نیافتد چراکه بخش اعظمی از واکنش در همان سنین کم روی داده است. جدول ۵ درصد کسب مقاومت نهایی ۲۸ روزه در سن ۷ روزگی را در دماهای مختلف عمل‌آوری نشان می‌دهد. نتایج این مقاله در بخش دمای عمل‌آوری با نتایج پالومو و همکاران [۲۴] مطابقت و با نتایج هاردیجیتو و همکاران [۱۷]، ساتپوت منش و همکاران [۲۹] و احمد و دیگران [۳۰] مغایرت دارد. اما به نتایج محمد و همکاران [۳۵] نزدیک است. این پژوهشگران دمای ۸۰ درجه سانتی گراد را به عنوان دمای بهینه برای عمل آوری بتن ژئوپلیمری اعلام کرده و همچنین گزارش کردند که با افزایش دما به بیش از ۸۰ درجه سانتی گراد تغییرات محسوسی در مقاومت فشاری بتن ژئوپلیمری دیده نمی‌شود. تصویر نمونه بتن ژئوپلیمری نیز در شکل ۴ ارائه شده است.



شکل ۳- تاثیر دمای‌های مختلف عمل‌آوری بر مقاومت فشاری بتن ژئوپلیمری (زمان عمل‌آوری ۲۴ ساعت)

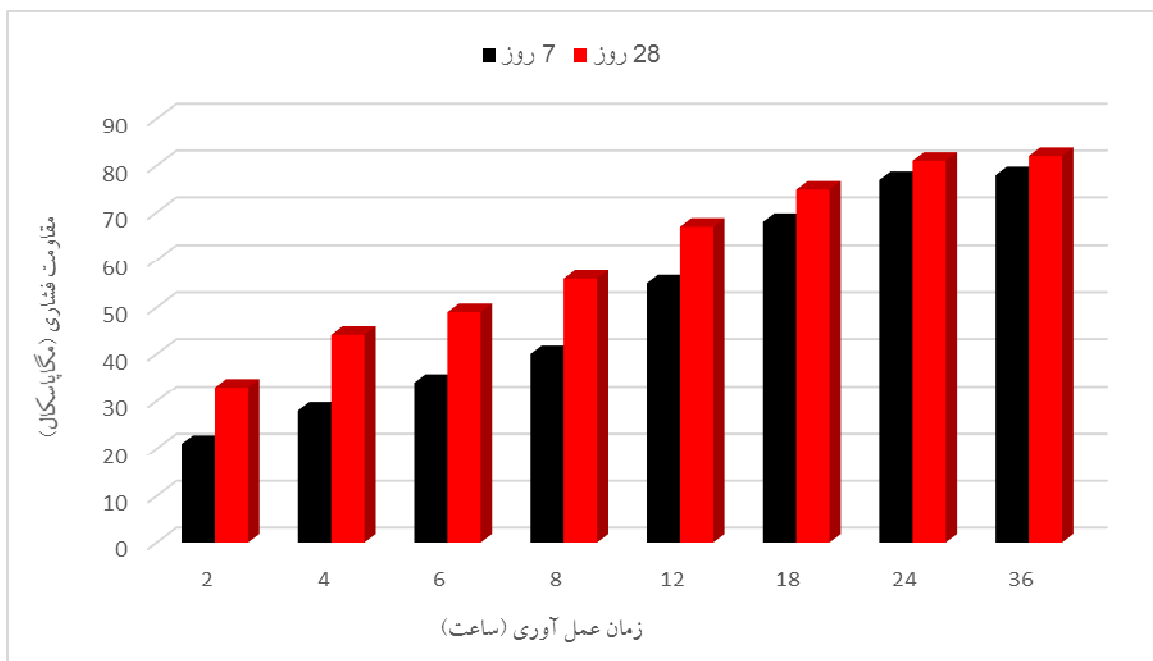
جدول ۵- نقش دمای عمل‌آوری بر مقاومت زودرس بتن ژئوپلیمری بر پایه خاکستر بادی

| دماهی عمل‌آوری (درجه سانتی گراد) | روزه (مگاپاسکال) | درصد کسب مقاومت نهایی (٪) | تغییرات مقاومت فشاری ۲۸ روزه نسبت به ۶۰ درجه سانتی گراد (٪) | تغییرات مقاومت فشاری ۷ روزه نسبت به ۲۸ روزه (٪) | دماهی عمل‌آوری (درجه سانتی گراد) |
|----------------------------------|------------------|---------------------------|-------------------------------------------------------------|-------------------------------------------------|----------------------------------|
| ۶۸                               | -                | -                         | -                                                           | -                                               | ۷۲                               |
| ۷۹                               | ۲۱               | ۵                         | ۲۱                                                          | ۲۱                                              | ۷۶                               |
| ۸۹                               | ۴۰               | ۸                         | ۴۰                                                          | ۴۰                                              | ۷۸                               |
| ۹۵                               | ۵۶               | ۱۲                        | ۵۶                                                          | ۵۶                                              | ۸۱                               |
| ۹۶                               | ۵۹               | ۱۳                        | ۵۹                                                          | ۵۹                                              | ۸۲                               |
|                                  |                  |                           |                                                             |                                                 | ۱۰۰                              |



شکل ۴- تصویر نمونه ساخته شده بتن ژئوپلیمری بر پایه خاکستر بادی

نتایج بخش دوم در خصوص تاثیر زمان عمل آوری بر مقاومت فشاری ۷ و ۲۸ روزه بتن ژئوپلیمری بر پایه خاکستر بادی در شکل ۵ ارائه شده است. نتایج شکل ۵ نشان می‌دهد در دمای ۹۰ درجه سانتی گراد با افزایش زمان عمل آوری مقاومت فشاری ۷ و ۲۸ روزه بتن نیز افزایش می‌یابد. این موضوع نیز می‌تواند مربوط به نقش حرارت در تسريع روند و میزان واکنش ژئوپلیمریزاسیون باشد [۱۶ و ۱۷]. با افزایش زمان عمل آوری از ۲ ساعت تا ۲۴ ساعت مقاومت فشاری به طور قابل ملاحظه‌ای افزایش می‌یابد اما برخلاف دمای عمل آوری، این افزایش مقاومت در هر دو مقاومت فشاری ۷ و ۲۸ روزه محسوس و قابل ملاحظه است. همچنین با توجه به جدول ۶ با افزایش زمان عمل آوری درصد مقاومت‌های زودرس بتن ژئوپلیمری نیز افزایش می‌یابد. اما بعد از ۲۴ ساعت، با افزایش زمان عمل آوری از ۲۴ ساعت به ۳۶ ساعت مقاومت فشاری ۷ و ۲۸ روزه به میزان تقریباً ۱ درصد افزایش می‌یابد. در واقع می‌توان گفت افزایش زمان عمل آوری بیشتر از ۲۴ ساعت، باعث ایجاد تغییر قابل ملاحظه‌ای در مقاومت فشاری بتن نمی‌شود. این نتیجه با نتایج هار迪جیتو و همکاران [۱۷] مطابقت و با نتایج احمد و همکاران [۳۰] مغایرت دارد.



شکل ۵- تاثیر زمان‌های مختلف کورینگ بر مقاومت فشاری بتن ژئوپلیمری (دمای عمل آوری ۹۰ درجه سانتی گراد)

جدول ۶- نقش زمان عملآوری بر مقاومت زودرس بتن ژئوپلیمری بر پایه خاکستر بادی

| زمان عملآوری<br>(ساعت) | روزه (مگاپاسکال) | نسبت به ۲ ساعت (%) | تغییرات مقاومت فشاری ۷ روزه | مقاومت فشاری ۲۸ روزه | درصد کسب مقاومت نهایی<br>(۲۸ روزه) در سن ۷ روزگی |
|------------------------|------------------|--------------------|-----------------------------|----------------------|--------------------------------------------------|
| ۲                      | ۳۳               | -                  | -                           | -                    | ۶۲                                               |
| ۴                      | ۴۴               | ۳۰                 | ۳۴                          | ۲۴                   | ۶۴                                               |
| ۶                      | ۴۷               | ۴۶                 | ۶۳                          | ۴۶                   | ۶۹                                               |
| ۸                      | ۵۶               | ۶۷                 | ۹۵                          | ۹۵                   | ۷۲                                               |
| ۱۲                     | ۶۷               | ۱۰۱                | ۱۶۶                         | ۱۶۶                  | ۸۲                                               |
| ۱۸                     | ۷۵               | ۱۲۴                | ۲۲۹                         | ۲۲۹                  | ۹۱                                               |
| ۲۴                     | ۸۱               | ۱۴۲                | ۲۷۱                         | ۲۷۱                  | ۹۵                                               |
| ۳۶                     | ۸۲               | ۱۴۴                | ۲۷۴                         | ۲۷۴                  | ۹۶                                               |

## ۵. نتیجه‌گیری

در این مقاله سعی شد در حد توان به مطالعه نقش شرایط عملآوری بر مقاومت فشاری ۷ و ۲۸ روزه بتن ژئوپلیمری و همچنین مقاومت زودرس این بتن پرداخته شود. در همین راستا پس از تنظیم برنامه آزمایشگاهی و بررسی دو فاکتور عملآوری یعنی زمان و دمای عملآوری و انجام آزمایش‌های مقاومت فشاری، نتایج این آزمایش‌ها گردآوری و تجزیه تحلیل شد و در پایان موارد زیر به عنوان نتایج مشخص این مقاله ارائه می‌شود:

- افزایش دمای عملآوری سبب افزایش مقاومت فشاری ۷ و ۲۸ روزه بتن ژئوپلیمری بر پایه خاکستر بادی می‌شود اما این افزایش مقاومت فشاری در مقاومت فشاری ۷ روزه محسوس‌تر است. همچنین در دمای بیشتر از ۹۰ درجه سانتی‌گراد تغییر قابل ملاحظه‌ای در مقاومت فشاری ۷ و ۲۸ روزه بتن دیده نمی‌شود.
- افزایش دمای عملآوری سبب افزایش مقاومت در سن ۷ روز بتن ژئوپلیمری بر پایه خاکستر بادی می‌شود.
- افزایش زمان عملآوری سبب افزایش مقاومت فشاری ۷ و ۲۸ روزه بتن ژئوپلیمری بر پایه خاکستر بادی می‌شود و بر خلاف افزایش دما، این افزایش مقاومت فشاری در هر دو مقاومت فشاری ۷ و ۲۸ روزه قابل ملاحظه است. همچنین با افزایش زمان عملآوری به بیش از ۲۴ ساعت، تغییر قابل ملاحظه‌ای در مقاومت فشاری ۷ و ۲۸ روزه بتن دیده نمی‌شود.

## ۶. مراجع

- [۱] Phummiphana, I., Horpibulsuk, S., Rachan, R., Arulrajah, A., Shen, S.L. and Chindaprasirt, P. (۲۰۱۸). "High calcium fly ash geopolymer stabilized lateritic soil and granulated blast furnace slag blends as a pavement base material". *J. Hazard. Mater.*, Vol. ۳۴۱, pp ۲۵۷–۲۶۷.
- [۲] McCaffrey, R. (۲۰۰۲). "Climate change and the cement industry". *Global. Cem. Lime Mag*, pp ۱۵–۹.
- [۳] Andrejkovičová, S., Sudagar, A., Rocha, J., Patinha, C., Hajjaji, W., Ferreira da Silva, E., Velosa, A., and Rocha, F. (۲۰۱۶). "The effect of natural zeolite on microstructure, mechanical and heavy metals adsorption properties of metakaolin based geopolymers". *Appl. Clay Sci*, Vol. ۱۲۶, pp ۱۴۱–۱۵۲.

- [<sup>¶</sup>] Neupane, K., Chalmers, D. and Kidd, P. (2018). "High-Strength Geopolymer Concrete-Properties, Advantages and Challenges". *Advances in Materials*, Vol. 7(2), pp 15-25.
- [<sup>§</sup>] Assi, L.N., Deaver, E. and Ziehl, P. (2018). "Effect of source and particle size distribution on the mechanical and microstructural properties of fly Ash-Based geopolymer concrete". *Constr. Build. Mater.*, Vol. 168, pp 372-380.
- [<sup>¶</sup>] Davidovits, J. (2013). "Geopolymer Cement Geopolymer Cement". a review.
- [<sup>¶</sup>] Meyer, C. (2009). "The greening of the concrete industry". *Cem. Concr. Compos.*, Vol. 31(8), pp 601-605.
- [<sup>¶</sup>] Chen, C., Habert, G., Bouzidi, Y. and Jullien, A. (2011). "Environmental impact of cement production: detail of the different processes and cement plant variability evaluation". *J. Clean. Prod.*, Vol. 18, pp 478-485.
- [<sup>¶</sup>] Bashir, I., Kapoor, K. and Sood, H. (2017). "An Experimental Investigation on the Mechanical Properties of Geopolymer Concrete". *International Journal of Latest Research in Science and Technology*, Vol. 6(3), pp 33-36.
- [<sup>¶</sup>] Ekinci, E., Türkmen, I., Kantarci, F. and Karakoç, M.B. (2019). "The improvement of mechanical, physical and durability characteristics of volcanic tuff based geopolymer concrete by using nano silica, micro silica and Styrene-Butadiene Latex additives at different ratios". *Constr. Build. Mater.*, Vol. 201, pp 257-267.
- [<sup>¶</sup>] Davidovits, J. (1988a). "Soft Mineralurgy and Geopolymers". Paper presented at the Geopolymer '88, First European Conference on Soft Mineralurgy, Compiegne, France.
- [<sup>¶</sup>] Davidovits, J. (1988b). "Geopolymer Chemistry and Properties". Paper presented at the Geopolymer '88, First European Conference on Soft Mineralurgy, Compiegne, France.
- [<sup>¶</sup>] Davidovits, J. (1991). "Geopolymers: Inorganic Polymeric New Materials". *J. Therm. Anal.*, Vol. 37, pp 1633-1656.
- [<sup>¶</sup>] Van Jaarsveld, J.G.S., van Deventer, J.S.J. and Lukey, G.C. (2002). "The effect of composition and temperature on the properties of fly ash- and kaolinite-based geopolymers". *Chem. Eng. J.*, Vol. 87(1-3), pp 63-73.
- [<sup>¶</sup>] De Silva, P., Sagoe-Crenstil, K. and Sirivivatnanon, V. (2008). "Kinetics of geopolymerization: role of Al<sub>2</sub>O<sub>3</sub> and SiO<sub>2</sub>". *Cem. Concr.*, Vol. 37(4), pp 512-518.
- [<sup>¶</sup>] Davidovits, J., (1999), "Chemistry of Geopolymeric Systems, Terminology". *Geopolymer '99 International Conference*, France.
- [<sup>¶</sup>] Hardjito, D., Wallah, S.E., Sumajouw, D.M.J., and Rangan, B.V. (2004). "On the Development of Fly Ash-Based Geopolymer Concrete". *ACI Materials Journal*, Vol. 101(6), pp 467-472.
- [<sup>¶</sup>] Amnadnua, K., Tangchirapat, W. and Jaturapitakkul, C. (2013). "Strength, water permeability: and heat evolution of high strength concrete made from the mixture of calcium carbide residue and fly ash". *Mater. Des.*, Vol. 51, pp 894-901.
- [<sup>¶</sup>] Duxson, P., Provis, J.L., Lukey, G.C. and van Deventer, J.S.J. (2008). "The Role of Inorganic Polymer Technology in the Development of Green Concrete". *Cement and Concrete Research*, Vol. 37(12), pp 1590-1597.
- [<sup>¶</sup>] Lee, W.K.W. and van Deventer, J.S.J. (2002). "The effects of inorganic salt contamination on the strength and durability of geopolymers". *Colloids Surf, A* 2111, pp 15-126.
- [<sup>¶</sup>] Cheng, T.W. and Chiu, J.P. (2003). "Fire-resistant geopolymer produced by granulated blast furnace slag". *Miner. Eng.*, Vol. 16(3), pp 205-210.

- [٢٢] Sakkas, K., Panias, D., Nomikos, P.P. and Sofianos, A.I. (٢٠١٤). “Potassium based geopolymer for passive fire protection of concrete tunnels linings”, Tunnell .Underground Space Technol, Vol. ٣٣, pp ١٤٨–١٥٦.
- [٢٣] Sarker, P.K., Kelly, S. and Yao, Z. (٢٠١٤). “Effect of fire exposure on cracking: spalling and residual strength of fly ash geopolymer concrete”. Mater. Des, Vol. ٦٣, pp ٥٨٤–٥٩٢.
- [٢٤] Palomo, A., Blanco-Varela, M.T., Granizo, M.L., Puertas, F., Vazquez, T. and Grutzeck, M.W. (٢٠١١). “Chemical stability of cementitious materials based on metakaolin”. Cem. Concr. Res, Vol. ٢٧(٧), pp ٩٩٧–١٠٠٠.
- [٢٥] Zhang, M., Guo, H., El-Korchi, T., Zhang, G. and Tao, M. (٢٠١٣). “Experimental feasibility study of geopolymer as the next-generation soil stabilizer”. Constr. Build. Mater, Vol. ٤٤, pp ١٤٦٨–١٤٧٨.
- [٢٦] van Jaarsveld, J.G.S., van Deventer, J.S.J. and Lukey, G.C. (٢٠٠٣). “The Characterisation of Source Materials in Fly Ash-based Geopolymers”. Materials Letters, Vol. ٥٧(٦), pp ١٢٧٢–١٢٨٠.
- [٢٧] Barbosa, V.F.F., MacKenzie, K.J.D. and Thaumaturgo, C. (٢٠٠٠). “Synthesis and Characterisation of Materials Based on Inorganic Polymers of Alumina and Silica: Sodium Polysialate Polymers”. International Journal of Inorganic Materials, Vol. ٢(٤), pp ٣٠٩–٣١٧.
- [٢٨] Xu, H. and van Deventer J.S.J. (٢٠٠٠). “The Geopolymerisation of Alumino-Silicate Minerals”. International Journal of Mineral Processing, Vol. ٥٩(٣), pp ٢٤٧–٢٦٦.
- [٢٩] Satpute Manesh B. and W.M. (٢٠١٢). “Effect of Duration and Temperature of Curing on Compressive Strength of Geopolymer Concrete”. International Journal of Engineering and Innovative Technology, pp ٣٧٢–٣٩١.
- [٣٠] Ahmed, M.N.S., Nuruddin, M., Demie, S. and Shafiq, N. (٢٠١١). “Effect of curing conditions on strength of fly ash based self-compacting geopolymer concrete”. International Journal of Civil, Environmental, Structural, Construction and Architectural Engineering, Vol. ٥(٨), pp ٨–٢.
- [٣١] ASTM C١٣٦ / C١٣٦M-14, Standard Test Method for Sieve Analysis of Fine and Coarse Aggregates, ASTM International, West Conshohocken, PA, ٢٠١٤.
- [٣٢] ASTM C١٢٧-١٥, Standard Test Method for Relative Density (Specific Gravity) and Absorption of Coarse Aggregate, ASTM International, West Conshohocken, PA, ٢٠١٥.
- [٣٣] ASTM C١٢٨-١٥, Standard Test Method for Relative Density (Specific Gravity) and Absorption of Fine Aggregate, ASTM International, West Conshohocken, PA, ٢٠١٥.
- [٣٤] British Standards Institution, Testing Concrete: Method for Determination of the Compressive Strength of Concrete Cubes, BS1881: Part ١١٦: ١٩٨٣, London.
- [٣٥] Muhammad, N., Baharom, S., Ghazali, N.A.M. and Alias, N.A. (٢٠١٩). “Effect of Heat Curing Temperatures on Fly Ash-Based Geopolymer Concrete”. International Journal of Engineering & Technology, Vol. ٨(١,٢), pp ١٥–١٩.